

deformazioni da spost. virtuale  $\underline{\delta u}$

$$\underline{\delta \epsilon} = \underline{B} \cdot \underline{\delta u}$$

$$\underline{\delta \epsilon} = \begin{bmatrix} \delta \epsilon_x \\ \delta \epsilon_y \\ \delta \gamma_{xy} \end{bmatrix} \text{ in 2d}$$

$$= \begin{bmatrix} \delta \epsilon_x \\ \delta \epsilon_y \\ \delta \epsilon_z \\ \delta \gamma_{xy} \\ \delta \gamma_{yz} \\ \delta \gamma_{zx} \end{bmatrix} \text{ in 3d}$$

$$\underline{B} = \begin{bmatrix} \frac{\partial}{\partial x} & 0 \\ 0 & \frac{\partial}{\partial y} \\ \frac{\partial}{\partial y} & \frac{\partial}{\partial x} \end{bmatrix}$$

$$\underline{N}(x,y) = \begin{bmatrix} N_1 & 0 & N_2 & 0 & N_3 & 0 \\ 0 & N_1 & 0 & N_2 & 0 & N_3 \end{bmatrix}$$

Tensioni

associate allo stato di equilibrio che vado a perturbare con gli spostamenti virtuali  $\underline{\delta u}$

$$\underline{\sigma} = \begin{bmatrix} \sigma_x \\ \sigma_y \\ \tau_{xy} \end{bmatrix} \text{ in 2d}$$

$$= \begin{bmatrix} \sigma_x \\ \sigma_y \\ \sigma_z \\ \tau_{xy} \\ \tau_{yz} \\ \tau_{zx} \end{bmatrix} \text{ in 3d}$$

I contributi  $\underline{\delta \sigma} = \underline{D} \underline{\delta \epsilon}$  associati alla deformazione virtuale sono trascurati in quanto danno luogo a termini energetici di ordine superiore.

spostamenti nodali alla config. di equilibrio

variazione di

energia potenziale e elastica associata agli spost. virtuali  $\underline{\delta u}$

$$\delta U = \int_V \underline{\delta \epsilon}^T \underline{\sigma} dV + \int_V \underline{\delta \epsilon}^T \underline{\delta \sigma} dV$$

$$(\underline{A} \cdot \underline{B})^T = \underline{B}^T \underline{A}^T$$

$$= \int_V \underline{\delta u}^T \underline{B}^T \underline{D} \underline{B} \underline{u} dV$$

$$= \underline{\delta u}^T \left[ \int_V \underline{B}^T \underline{D} \underline{B} dV \right] \underline{u} = \underline{\delta u}^T \underline{K} \underline{u}$$

integrando costante in  $dV$   
 $\underline{K} = \underline{u}^T \cdot \underline{B}^T \underline{D} \underline{B}$

Lavoro virtuale delle forze esterne

$$\delta W = \underline{\delta u}^T \underline{F}$$

$$\underline{F} = \begin{bmatrix} P_{1x} \\ P_{1y} \\ P_{2x} \\ P_{2y} \\ P_{3x} \\ P_{3y} \end{bmatrix} + \int_{S_{sup.}} \underline{N}^T \begin{bmatrix} s_x \\ s_y \end{bmatrix} dS + \int_V \underline{N}^T \begin{bmatrix} q_x \\ q_y \end{bmatrix} dV$$

forze esterne applicate ai nodi

azioni esterne di superficie

azioni esterne di volume

ridotte ai nodi

spostamento virtuale perturbante la configura. di equilibrio

$$\text{at. } \frac{1}{3} \begin{bmatrix} 1 & 0 & 1 & 0 & 1 & 0 \\ 0 & 1 & 0 & 1 & 0 & 1 \end{bmatrix}$$

$$\int_a^b w(x) \cdot f(y) dx = \bar{F} \cdot \int_a^b w(x) dx$$

$$\int_V \underline{N} dV = \underline{K}$$

- corpo in equilibrio
- spostamenti virtuali
  - arbitrari
  - compatibili con vincoli
  - infinitesimi

- spostamenti nodali  $\underline{u}$
- forze esterne applicate
  - $\underline{P}$  nodali
  - $[s_x, s_y]^T$  di superficie
  - $[q_x, q_y]^T$  di volume

compatibili con le funzioni di forme  $\rightarrow$  vincoli cinematici

$$\underline{N}(x, y) \cdot \underline{\delta u}$$

- lavoro virtuale delle forze esterne  $\delta W$



- lavoro virtuale delle azioni interne
- variazione di energia potenziale elastica

$\delta U$

$$\delta W = \delta U \Rightarrow \underline{\delta u}^T \underline{F} = \underline{\delta u}^T \underline{K} \underline{u} \quad \forall \underline{\delta u}$$

identità scalari

identità vettoriali

$$\underline{F} = \underline{K} \underline{u}$$

$$\underline{v} = \begin{bmatrix} 0 \\ 0 \\ 0 \\ 0 \\ 0 \\ 0 \end{bmatrix} = \underline{t}_x$$

$\underline{t}_y$

forze esterne applicate all'elemento

forze da applicarsi ai nodi per equilibrare le reazioni elastiche associate allo spostamento nodale  $\underline{u}$

ovvero da applicarsi ai nodi per mantenere l'elemento in configurazione deformata  $\underline{u}$

se uguali ho equilibrio

$$6 - 3 = 3$$

6x6 nel tri3

3 moti di corpo rigido ind.

$\underline{K}$  in generale non

rango pieno per via dei moti di corpo rigido

$$\exists \underline{v} \neq \underline{0} \text{ t.c. } \underline{v}^T \underline{K} \underline{v} = 0$$

se  $\underline{v}$  moto di corpo rigido, infatti, è equilibrato da un sistema di forze nulle

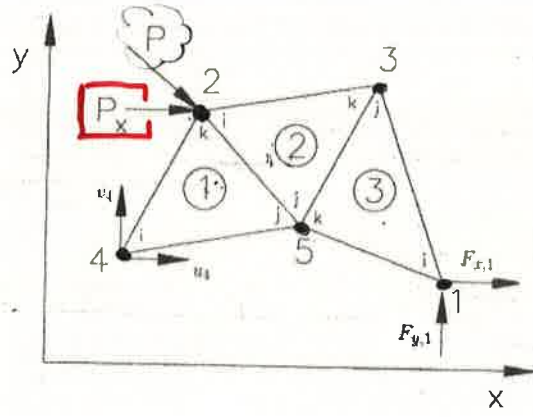
$\underline{K}$  semidefinita positiva, ossia  $\forall \underline{v} \in \mathbb{R}^n, \underline{v}^T \underline{K} \underline{v} = 2U \geq 0$

in quanto la condizione indeformata ( $\underline{v} = \underline{0}, U = 0$ ) è un minimo di energia pot. elastica



ele 1, nodo i ≡ nodo 4

ele 3, nodo j ≡ nodo 5



ele	i	j	k
1	4	5	2
2	2	5	3
3	1	3	5

$$\underline{\delta}_s = [u_1 \ v_1 \ u_2 \ v_2 \ u_3 \ v_3 \ u_4 \ v_4 \ u_5 \ v_5]^T$$

$$\underline{F}_s = [F_{x,1} \ F_{y,1} \ F_{x,2} \ F_{y,2} \ F_{x,3} \ F_{y,3} \ F_{x,4} \ F_{y,4} \ F_{x,5} \ F_{y,5}]$$

$$\underline{F}_s = \underline{K}_s \underline{\delta}_s$$

Matrice di rigidezza elemento 1, espressa come relazione tra forze e spostamenti ai nodi dell'elemento 1. Equivalenza tra numerazione locale e globale  $[1i] \equiv 4, [1j] \equiv 5, [1k] \equiv 2$ .

U forze in dir x

V forze in dir y

$$\begin{bmatrix} U_{[1i],1} \\ V_{[1i],1} \\ U_{[1j],1} \\ V_{[1j],1} \\ U_{[1k],1} \\ V_{[1k],1} \end{bmatrix} = \begin{bmatrix} a_{11} & a_{12} & a_{13} & a_{14} & a_{15} & a_{16} \\ a_{21} & a_{22} & a_{23} & a_{24} & a_{25} & a_{26} \\ a_{31} & a_{32} & a_{33} & a_{34} & a_{35} & a_{36} \\ a_{41} & a_{42} & a_{43} & a_{44} & a_{45} & a_{46} \\ a_{51} & a_{52} & a_{53} & a_{54} & a_{55} & a_{56} \\ a_{61} & a_{62} & a_{63} & a_{64} & a_{65} & a_{66} \end{bmatrix} \begin{bmatrix} u_{[1i]} \\ v_{[1i]} \\ u_{[1j]} \\ v_{[1j]} \\ u_{[1k]} \\ v_{[1k]} \end{bmatrix}$$

ele ①

Matrice di rigidezza elemento 2. Equivalenza tra numerazione locale e globale  $[1i] \equiv 2, [1j] \equiv 5, [1k] \equiv 3$ .

= U<sub>2,1</sub>

↑

nodo secondo num. globale

$$\begin{bmatrix} U_{[2i],2} \\ V_{[2i],2} \\ U_{[2j],2} \\ V_{[2j],2} \\ U_{[2k],2} \\ V_{[2k],2} \end{bmatrix} = \begin{bmatrix} b_{11} & b_{12} & b_{13} & b_{14} & b_{15} & b_{16} \\ b_{21} & b_{22} & b_{23} & b_{24} & b_{25} & b_{26} \\ b_{31} & b_{32} & b_{33} & b_{34} & b_{35} & b_{36} \\ b_{41} & b_{42} & b_{43} & b_{44} & b_{45} & b_{46} \\ b_{51} & b_{52} & b_{53} & b_{54} & b_{55} & b_{56} \\ b_{61} & b_{62} & b_{63} & b_{64} & b_{65} & b_{66} \end{bmatrix} \begin{bmatrix} u_{[2i]} \\ v_{[2i]} \\ u_{[2j]} \\ v_{[2j]} \\ u_{[2k]} \\ v_{[2k]} \end{bmatrix}$$

Matrice di rigidezza elemento 3. Equivalenza tra numerazione locale e globale  $[1i] \equiv 1, [1j] \equiv 3, [1k] \equiv 5$ .

ele ②

- U<sub>2,2</sub>

↑

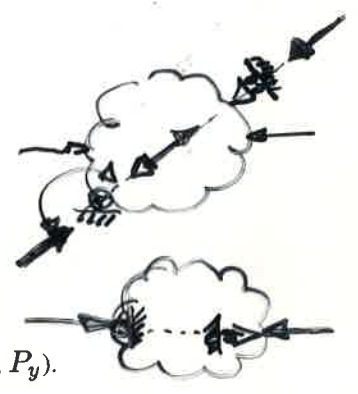
nodo

$$P_x - U_{2,1} - U_{2,2} = 0$$

PAOM 8/3/2016  
ps. 4

$$\begin{bmatrix} U_{[3i],3} \\ V_{[3i],3} \\ U_{[3j],3} \\ V_{[3j],3} \\ U_{[3k],3} \\ V_{[3k],3} \end{bmatrix} = \begin{bmatrix} c_{11} & c_{12} & c_{13} & c_{14} & c_{15} & c_{16} \\ c_{21} & c_{22} & c_{23} & c_{24} & c_{25} & c_{26} \\ c_{31} & c_{32} & c_{33} & c_{34} & c_{35} & c_{36} \\ c_{41} & c_{42} & c_{43} & c_{44} & c_{45} & c_{46} \\ c_{51} & c_{52} & c_{53} & c_{54} & c_{55} & c_{56} \\ c_{61} & c_{62} & c_{63} & c_{64} & c_{65} & c_{66} \end{bmatrix} \begin{bmatrix} u_{[3i]} \\ v_{[3i]} \\ u_{[3j]} \\ v_{[3j]} \\ u_{[3k]} \\ v_{[3k]} \end{bmatrix}$$

ele 3



**Esempio di equazione di equilibrio nodale**

Equazione di equilibrio alla traslazione in direzione  $x$  del nodo 2.

Si suppone che sul nodo 2 agisca una forza esterna nodale  $P$ , scomponibile in due componenti  $(P_x, P_y)$ .

Sullo stesso nodo agiscono le reazioni elastiche degli elementi triangolari 1 e 2 deformati secondo spostamento  $\delta$ , denominate rispettivamente con  $-U_{2,1}$  e  $-U_{2,2}$ , in cui il primo indice si riferisce al nodo mentre il secondo indica l'elemento.

Equivalentemente, chiamiamo  $U_{2,1}$  e  $U_{2,2}$  le azioni in direzione  $x$  applicate al nodo 2 (primo indice a pedice) necessarie per mantenere rispettivamente gli elementi 1 e 2 (secondo indice a pedice) in configurazione deformata secondo il vettore degli spostamenti nodali di struttura  $\delta$ .

L'equazione di equilibrio  $P_x = U_{2,1} + U_{2,2}$  dove:

$$U_{2,1} = a_{5,1}u_4 + a_{5,2}v_4 + a_{5,3}u_5 + a_{5,4}v_5 + a_{5,5}u_2 + a_{5,6}v_2$$

$$U_{2,2} = b_{1,1}u_2 + b_{1,2}v_2 + b_{1,5}u_3 + b_{1,6}v_3 + b_{1,3}u_5 + b_{1,4}v_5$$

manca  $u_3, v_3$

manca  $u_1, v_1$

manca  $u_4, v_4$

Si può notare che passando dal singolo elemento alla struttura, la matrice quadrata delle rigidezze aumenta la propria dimensione, da  $6 \times 6$  a  $10 \times 10$ , a causa della presenza dei 5 nodi della struttura globale. Le espressioni  $U_{2,1}$  e  $U_{2,2}$  risultano essere:

$$U_{2,1} = 0 + 0 + a_{5,1}u_4 + a_{5,2}v_4 + 0 + 0 + a_{5,3}u_5 + a_{5,4}v_5 + a_{5,5}u_2 + a_{5,6}v_2$$

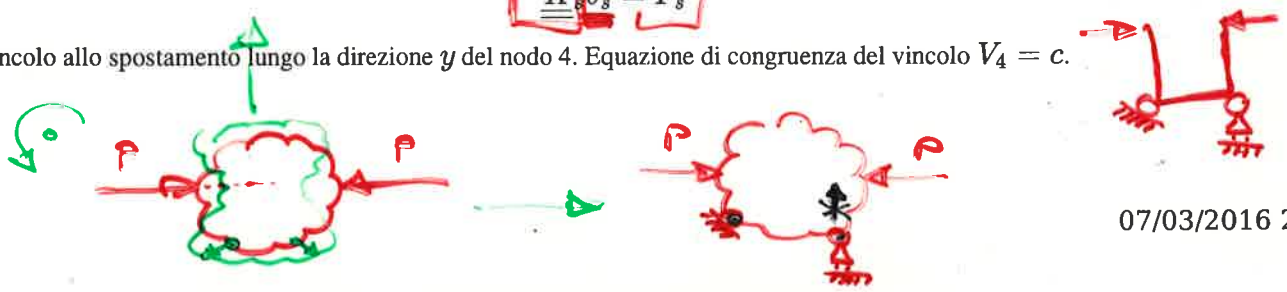
$$U_{2,2} = 0 + 0 + b_{1,1}u_2 + b_{1,2}v_2 + b_{1,5}u_3 + b_{1,6}v_3 + 0 + 0 + b_{1,3}u_5 + b_{1,4}v_5$$

$$P_x \equiv U_2 = \begin{bmatrix} 0 & 0 & a_{5,5} + b_{1,1} & a_{5,6} + b_{1,2} & b_{1,5} & b_{1,6} & a_{5,1} & a_{5,2} & a_{5,3} + b_{1,3} & a_{5,4} + b_{1,4} \end{bmatrix} \begin{bmatrix} u_1 \\ v_1 \\ u_2 \\ v_2 \\ u_3 \\ v_3 \\ u_4 \\ v_4 \\ u_5 \\ v_5 \end{bmatrix}$$

**Vincolamenti**

$$K_s \delta_s = F_s$$

Vincolo allo spostamento lungo la direzione  $y$  del nodo 4. Equazione di congruenza del vincolo  $V_4 = c$ .



paom 8/3/2016  
pag. 5

$$\begin{bmatrix} \cdot \\ \cdot \\ \cdot \\ \cdot \\ \cdot \\ \cdot \\ \cdot \\ c \\ \cdot \\ \cdot \end{bmatrix} = \begin{bmatrix} \cdot & \cdot & \cdot & \cdot & \cdot & \cdot & \cdot & \cdot & \cdot & \cdot \\ \cdot & \cdot & \cdot & \cdot & \cdot & \cdot & \cdot & \cdot & \cdot & \cdot \\ \cdot & \cdot & \cdot & \cdot & \cdot & \cdot & \cdot & \cdot & \cdot & \cdot \\ \cdot & \cdot & \cdot & \cdot & \cdot & \cdot & \cdot & \cdot & \cdot & \cdot \\ \cdot & \cdot & \cdot & \cdot & \cdot & \cdot & \cdot & \cdot & \cdot & \cdot \\ \cdot & \cdot & \cdot & \cdot & \cdot & \cdot & \cdot & \cdot & \cdot & \cdot \\ \cdot & \cdot & \cdot & \cdot & \cdot & \cdot & \cdot & \cdot & \cdot & \cdot \\ 0 & 0 & 0 & 0 & 0 & 0 & 0 & 1 & 0 & 0 \\ \cdot & \cdot & \cdot & \cdot & \cdot & \cdot & \cdot & \cdot & \cdot & \cdot \\ \cdot & \cdot & \cdot & \cdot & \cdot & \cdot & \cdot & \cdot & \cdot & \cdot \end{bmatrix} \begin{bmatrix} u_1 \\ v_1 \\ u_2 \\ v_2 \\ u_3 \\ v_3 \\ u_4 \\ v_4 \\ u_5 \\ v_5 \end{bmatrix}$$
  

$$\begin{bmatrix} \cdot \\ \cdot \\ \cdot \\ \cdot \\ \cdot \\ \cdot \\ \cdot \\ c \\ \cdot \\ \cdot \end{bmatrix} - c \cdot \begin{bmatrix} \square_1 \\ \square_2 \\ \square_3 \\ \square_4 \\ \square_5 \\ \square_6 \\ \square_7 \\ 0 \\ \square_9 \\ \square_{10} \end{bmatrix} = \begin{bmatrix} \cdot & \cdot & \cdot & \cdot & \cdot & \cdot & \cdot & \cdot & 0 & \cdot & \cdot \\ \cdot & \cdot & \cdot & \cdot & \cdot & \cdot & \cdot & \cdot & 0 & \cdot & \cdot \\ \cdot & \cdot & \cdot & \cdot & \cdot & \cdot & \cdot & \cdot & 0 & \cdot & \cdot \\ \cdot & \cdot & \cdot & \cdot & \cdot & \cdot & \cdot & \cdot & 0 & \cdot & \cdot \\ \cdot & \cdot & \cdot & \cdot & \cdot & \cdot & \cdot & \cdot & 0 & \cdot & \cdot \\ \cdot & \cdot & \cdot & \cdot & \cdot & \cdot & \cdot & \cdot & 0 & \cdot & \cdot \\ \cdot & \cdot & \cdot & \cdot & \cdot & \cdot & \cdot & \cdot & 0 & \cdot & \cdot \\ 0 & 0 & 0 & 0 & 0 & 0 & 0 & 0 & 1 & 0 & 0 \\ \cdot & \cdot & \cdot & \cdot & \cdot & \cdot & \cdot & \cdot & 0 & \cdot & \cdot \\ \cdot & \cdot & \cdot & \cdot & \cdot & \cdot & \cdot & \cdot & 0 & \cdot & \cdot \end{bmatrix} \begin{bmatrix} u_1 \\ v_1 \\ u_2 \\ v_2 \\ u_3 \\ v_3 \\ u_4 \\ v_4 \\ u_5 \\ v_5 \end{bmatrix}$$

wikipaom2016/assemb\_vinc.txt · Ultima modifica: 2016/03/07 22:32 da ebertocchi

risolvo  $\underline{K}_{s,v} \underline{\delta}_s = \underline{F}_{s,v}$ ,  $\underline{K}_{s,v}$  e  $\underline{F}_{s,v}$  modificati dall'applicaz. dei vincoli

e ottengo  $\underline{\delta}_s^*$  soluzione del sistema.

Affianco le reazioni vincolari alle forze esterne e

ottengo

$$\underline{K}_s \cdot \underline{\delta}_s^* = \underline{F}_s + \underline{R}$$

vettore reazioni vincolari

pre-vincolamento

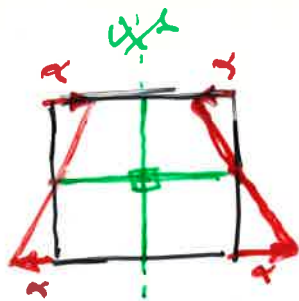
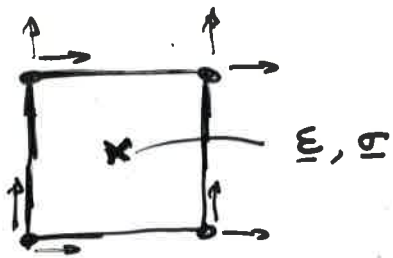
da cui ricavo

$$\underline{R} = \underline{K}_s \cdot \underline{\delta}_s^* - \underline{F}_s$$

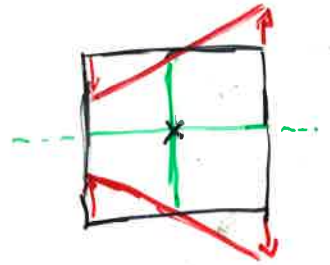
ossia le reazioni vincolari assorbono ogni disequilibrio,

anche sui gdl NON vincolati !!

in questo caso  
assorbono l'errore numerico



$$\begin{aligned} \epsilon_x &= 0 \\ \epsilon_y &= 0 \\ \gamma_{xy} &= 0 \end{aligned}$$



8 gdl nodali  $\rightarrow \underline{\underline{K}} \in \mathbb{M}_{8 \times 8}$



rango massimo ipotetico 8

- 3 moti corpo rigido

- 2 moti a en. pot. elastica  
stranamente nulla